

(19) 日本国特許庁(JP)

(12) 特 許 公 報(B2)

(11) 特許番号

特許第5736036号  
(P5736036)

(45) 発行日 平成27年6月17日(2015.6.17)

(24) 登録日 平成27年4月24日(2015.4.24)

(51) Int.Cl.		F 1			
<b>B 6 0 K</b>	<b>5/12</b>	<b>(2006.01)</b>	B 6 0 K	5/12	F
<b>F 1 6 F</b>	<b>15/02</b>	<b>(2006.01)</b>	F 1 6 F	15/02	B

請求項の数 3 (全 11 頁)

(21) 出願番号	特願2013-508734 (P2013-508734)	(73) 特許権者	000005278
(86) (22) 出願日	平成24年3月13日(2012.3.13)		株式会社ブリヂストン
(86) 国際出願番号	PCT/JP2012/001736		東京都中央区京橋三丁目1番1号
(87) 国際公開番号	W02012/137418	(74) 代理人	100147485
(87) 国際公開日	平成24年10月11日(2012.10.11)		弁理士 杉村 憲司
審査請求日	平成25年12月9日(2013.12.9)	(74) 代理人	100119530
(31) 優先権主張番号	特願2011-83612 (P2011-83612)		弁理士 富田 和幸
(32) 優先日	平成23年4月5日(2011.4.5)	(72) 発明者	渡井 宏和
(33) 優先権主張国	日本国(JP)		東京都小平市小川東町3-1-1 株式会 社ブリヂストン 技術センター内
		(72) 発明者	村上 和朋
			東京都小平市小川東町3-1-1 株式会 社ブリヂストン 技術センター内
		審査官	田合 弘幸
			最終頁に続く

(54) 【発明の名称】 車両の振動低減システム

(57) 【特許請求の範囲】

【請求項1】

加振力を発生する少なくとも1つの加振装置と、車両内の所定位置での振動を検出する少なくとも1つの振動検出装置と、制御対象の発生源の回転数信号から周波数を算出して、周波数が回転数信号の周波数の実数倍の参照信号を生成し、前記振動検出装置から得た信号と前記参照信号に基づいて得られる濾波信号とに基づいて適応フィルタを更新し、前記適応フィルタにより前記加振装置に加振力を発生させて、前記車両内の所定位置に生じる振動を低減するように制御する制御装置と、を備えた車両の振動低減システムであって、

前記適応フィルタはS A Nフィルタで構成されており、

前記制御装置は、周波数毎に、それぞれの周波数での前記加振装置から前記振動検出装置までの推定伝達特性を、予め格納しており、

前記濾波信号は、前記参照信号に、前記周波数に対応して予め格納された前記推定伝達特性を乗じることにより、得られるものであり、

前記制御装置は、前記制御対象の発生源の回転数が変化した際に、前記適応フィルタに、前記周波数に対応する過去の制御結果の適応フィルタの値を初期値として設定し、前記初期値から更新された適応フィルタにより前記加振装置に加振力を発生させて、前記車両内の所定位置に生じる振動を低減するようにしたことを特徴とする車両の振動低減システム。

【請求項2】

前記制御装置は、周波数毎に格納している過去の制御結果の前記適応フィルタの値のうち、前記周波数に対応する過去の制御結果の前記適応フィルタの値を、前記更新された適応フィルタの値で書き換えることを特徴とする請求項 1 に記載の車両の振動低減システム。

【請求項 3】

前記回転数信号は、歯抜けが存在するパルス信号であることを特徴とする請求項 1 又は 2 に記載の車両の振動低減システム。

【発明の詳細な説明】

【技術分野】

【0001】

本発明は、車両内の所定位置での振動を低減する振動低減システムに関する。

【背景技術】

【0002】

一般に、適応デジタルフィルタを用いた適応制御技術は、振動や音の低減を目的として広く用いられており、Filtered-X LMS (Least Mean Square) など多くの手法が提案されている。さらに、適応フィルタの構造についても、FIR (Finite Impulse Response) フィルタやSAN (Single-frequency Adaptive Notch) フィルタなど、様々な構造が提案されている。

その中で、自動車のエンジン振動等の周期信号を対象とした適応制御については、制御演算量やフィルタの収束性向上の面で、適応デジタルフィルタをSANフィルタで構成する手法が主に広く用いられている。

【0003】

また、特許文献 1 には、制御のずれが最大の振動検出位置を対象として、適応制御により電磁アクチュエータを駆動することにより、振動検出位置での振動を抑制する能動型防振装置が提案されている。また、適応制御の手法については、種々のものが提案されている（例えば、特許文献 2 参照）。

【先行技術文献】

【特許文献】

【0004】

【特許文献 1】特開 2002 - 155985 号公報

【特許文献 2】特開平 8 - 44377 号公報

【発明の概要】

【発明が解決しようとする課題】

【0005】

しかしながら、SANフィルタを用いた制御過程においては、適応デジタルフィルタの係数がある法則に従って更新していくため、制御が良好に機能している間は、フィルタが収束した時点で、制御対象とするエンジン振動が最小値をとるが、フィルタが収束するまでにはある程度の時間が必要である。

【0006】

また、適応制御の過程においては、発生するエンジン振動の周波数が変動した場合、つまり回転数が変動した場合を考えると、一般的な手法においては、その時点で、フィルタ係数は 0 にリセットされ、その周波数において再度フィルタ係数の更新が開始される。

つまり、回転数（周波数）が変動するたびにフィルタ係数が 0 にリセットされるということは、周波数が変動するたびにフィルタ収束までの時間が必要となり、例として自動車の運転状態を考えると、アクセルの様々な踏み方全てに対して良好な追従性を得ることは困難であることを意味する。

【0007】

本発明は、このようなフィルタの収束性に関する問題点に鑑みてなされたものであり、本発明の目的は、制御の高速性を向上させることのできる車両の振動低減システムを提供することにある。

10

20

30

40

50

## 【課題を解決するための手段】

## 【0008】

上記目的を達成するため、第1の発明は、加振力を発生する少なくとも1つの加振装置と、車両内の所定位置での振動を検出する少なくとも1つの振動検出装置と、制御対象の発生源の回転数信号から周波数を算出して、周波数が回転数信号の基本周波数の実数倍の余弦波および正弦波（参照信号）を生成し、前記振動検出装置から得た信号と前記参照信号に基づいて得られる濾波信号とに基づいて適応フィルタを更新し、前記参照信号と前記適応フィルタにより前記加振装置に加振力を発生させて、前記車両内の所定位置に生じる振動を低減するように制御する制御装置と、を備えた車両の振動低減システムであって、前記適応フィルタはS A Nフィルタで構成されており、前記制御装置は、周波数毎に、それぞれの周波数での前記加振装置から前記振動検出装置までの推定伝達特性を、予め格納してあり、前記濾波信号は、前記参照信号に、前記周波数に対応して予め格納された前記推定伝達特性を乗じることにより、得られるものであり、前記制御装置は、前記制御対象の発生源の回転数が変化した際に、前記適応フィルタに、前記周波数に対応する過去の制御結果の適応フィルタの値を初期値として設定し、前記初期値から更新された適応フィルタにより前記加振装置に加振力を発生させて、前記車両内の所定位置に生じる振動を低減するようにしたことを特徴とする。

10

## 【0009】

第2の発明は、第1の発明において、前記制御装置は、周波数毎に格納している過去の制御結果の前記適応フィルタの値のうち、前記周波数に対応する過去の制御結果の前記適応フィルタの値を、前記更新された適応フィルタの値で書き換えることを特徴とする。

20

第1又は第2の発明において、前記回転数信号は、歯抜けが存在するパルス信号であると、好適である。

## 【発明の効果】

## 【0010】

第1の発明によれば、低減したい制御対象の周波数が変動した際、適応フィルタの初期値を0にリセットせず、予め保存されたフィルタ係数のデータを初期値として与え、収束値（最適解）に近いフィルタ係数から係数を更新するので、フィルタの収束値（最適解）までの到達時間が短くなり、制御の高速性を向上させることができる。

## 【0011】

第2の発明によれば、加振装置の経年劣化や使用される環境の変化（温度等）があっても、常に現在の環境下での収束値（最適解）に近いフィルタ係数から係数を更新するので、フィルタの収束値（最適解）までの到達時間が短くなり、制御の高速性を向上させることができるだけでなく、制御のロバスト性を保つこともできる。

30

## 【図面の簡単な説明】

## 【0012】

【図1】図1は、本発明に係る車両の振動低減システムの実施例を示す模式図である。

【図2】図2は、車両の振動低減システムの実施例に係る制御系を示すブロック線図である。

【図3】図3は、制御装置に格納されている周波数毎の推定伝達特性を示す図である。

40

【図4】図4は、制御装置に格納されている周波数毎の適応フィルタ係数の収束値を示す図である。

【図5】図5は、本発明の動作を説明するフローチャートである。

【図6】図6は、クランク軸の回転パルス信号とクランク軸の回転1次、2次振動の波形との関係を示す図である。

【図7】図7は、制御装置に格納されている周波数毎の適応フィルタ係数の収束値を更新するときの動作を説明するフローチャートである。

## 【発明を実施するための形態】

## 【0013】

本発明の実施例について図面を参照して説明する。図1は、本発明に係る車両の振動低

50

減システムの実施例を示す模式図である。図 1 において、エンジン 1 2 は、ボイスコイルなどのアクチュエータを内蔵させたアクティブコントロールマウント ( A C M ) 3 a と複数個のエンジンマウント 5 によって支持されている。 A C M 3 a は、エンジン 1 2 を支持する機能と共に、加振装置としての機能を有し、加振力を能動的に発生させて、車両内の所定位置での振動を抑制するように機能する。エンジン 1 2 には、エンジンのクランク軸の回転数を測定するセンサ 6 が設けられている。車両内の所定位置には振動を検出するセンサ 9 が取り付けられている。運転席の前部の位置 (例えばインストルメントパネル内) には、 A C M 3 a の制振力を制御する制御装置 1 1 が配置されている。

【 0 0 1 4 】

振動を検出するセンサ 9 は、車両内の所定位置での振動 (例えば加速度) をリアルタイムで検出するように機能するものであり、乗員が高い感度で体感する場所や振動源近傍 (例えばエンジンマウントの車体側部位など) に配設されるのが好ましい。センサ 9 は、上述の例では、ステアリング 4 や運転席のフロア部に配設したが、シート 1 3、車体 1 4、前席のヘッドレスト部、後席のフロア部等に設けるようにしても良い。センサ 9 には、例えば加速度センサ、荷重センサ等を用いることができる。

制御装置 1 1 は、車両内のいずれの場所に配置しても良い。

【 0 0 1 5 】

図 2 は、車両の振動低減システムの実施例に係る制御系を示すブロック線図である。制御装置 1 1 は、制御周波数算出部 4 8 と、余弦波生成器 3 1 と、正弦波生成器 3 2 と、適応フィルタ 3 3 と、適応フィルタ 3 4 と、加算器 3 5 と、加算器 3 6 と、 L M S 演算部 3 7 と、加算器 3 8 と、 L M S 演算部 3 9 とを備えている。

【 0 0 1 6 】

制御周波数算出部 4 8 は、センサ 6 から出力されたクランク軸の回転パルス信号から制御する周波数を算出する。余弦波生成器 3 1 は、制御周波数算出部 4 8 で算出された周波数の余弦波を生成する。正弦波生成器 3 2 は、制御周波数算出部 4 8 で算出された周波数の正弦波を生成する。適応フィルタ 3 3 は、余弦波生成器 3 1 から出力された余弦波 (参照信号) のゲインを調整する。適応フィルタ 3 4 は、正弦波生成器 3 2 から出力された正弦波 (参照信号) のゲインを調整する。加算器 3 5 は、適応フィルタ 3 3 からの制御信号と適応フィルタ 3 4 からの制御信号とを加算して、 A C M (アクチュエータ) 3 a に制御信号  $y(t)$  を出力する。加算器 3 6 は、余弦波生成器 3 1 からの参照信号に A C M (アクチュエータ) 3 a からセンサ 9 までの伝達特性を乗じた信号と正弦波生成器 3 2 からの参照信号に A C M (アクチュエータ) 3 a からセンサ 9 までの伝達特性を乗じた信号とを加算する。 L M S 演算部 3 7 は、加算器 3 6 の出力とセンサ 9 で検出した加速度信号 (誤差信号)  $e(t)$  とを読み込んで適応フィルタ 3 3 のフィルタ係数の更新処理を行う。加算器 3 8 は、余弦波生成器 3 1 からの参照信号に A C M (アクチュエータ) 3 a からセンサ 9 までの伝達特性を乗じた信号と正弦波生成器 3 2 からの参照信号に A C M (アクチュエータ) 3 a からセンサ 9 までの伝達特性を乗じた信号とを加算する。 L M S 演算部 3 9 は、加算器 3 8 の出力とセンサ 9 で検出した加速度信号 (誤差信号)  $e(t)$  とを読み込んで適応フィルタ 3 4 のフィルタ係数の更新処理を行う。

【 0 0 1 7 】

図 2 において、 C は A C M 3 a からセンサ 9 までの実際の伝達特性を示す。  $C_r(f_k)$  と  $C_i(f_k)$  は各制御周波数  $f_k$  における A C M 3 a からセンサ 9 までの推定伝達特性である。 A C M 3 a を加振した時のセンサ 9 の応答を周波数  $f_k$  にて余弦成分と正弦成分の和で表した時、  $C_r(f_k)$ 、  $C_i(f_k)$  はそれぞれ、余弦成分の係数、正弦成分の係数である。制御装置 1 1 は、  $C_r(f_k)$  と  $C_i(f_k)$  を、予め各制御周波数  $f_k$  にて求めておいて、図 3 に示すように、周波数毎に格納している。

【 0 0 1 8 】

制御装置 1 1 は、過去に適応制御を行った際に、各周波数において得られた適応フィルタ 3 3、3 4 のフィルタ係数の収束値を、図 4 に示すように、周波数毎に格納している。ここで図 4 では、制御装置 1 1 は、周波数毎に  $W_r(f_k)$ 、  $W_i(f_k)$  をそれぞれ 1

10

20

30

40

50

つずつ格納しているが、運転状態（緩加速や急加速、路面の形状違いによるエンジンの負荷状態等）によって最適解が異なることが考えられるため、複数の異なる運転状態毎にあらかじめ  $W_r(f_k)$ 、 $W_i(f_k)$  を求めて格納しておき、その時々運転状態に対応する  $W_r(f_k)$ 、 $W_i(f_k)$  を読み出すようにしてもよい。

【0019】

図5は、本発明の振動低減システムの動作を説明するフローチャートである。制御装置11は、制御周波数算出部48にて、制御対象の発生源の回転数を検出し、回転数信号から周波数を算出する(S101)。次に、制御装置11は、周波数(回転数)が変化したか否かを判定する(S102)。制御装置11は、周波数(回転数)が変化するとき(Yesの場合)は、制御装置11内に格納されている、当該周波数に対応する過去の制御結果に基づく適応フィルタ33、34のフィルタ係数の収束値  $W_r(f_k)$ 、 $W_i(f_k)$  を読み込んで、適応フィルタ33、34に初期値として設定する(S103)。そして、制御装置11は、余弦波生成器31にて、基本周波数とその実数倍の周波数の余弦波を生成し、適応フィルタ33にて、上述したフィルタ係数の初期値を用いて、余弦波生成器31から出力された参照信号のゲインを調整する。制御装置11は、正弦波生成器32にて、基本周波数とその実数倍の周波数の正弦波を生成し、適応フィルタ34にて、上述したフィルタ係数の初期値を用いて、正弦波生成器32から出力された参照信号のゲインを調整する。次に、制御装置11は、加算器35にて、適応フィルタ33からの制御信号と適応フィルタ34からの制御信号とを加算して、ACM(アクチュエータ)3aに制御信号  $y(t)$  を出力する(S106)。

【0020】

次に、制御装置11は、加算器36にて、余弦波生成器31からの参照信号に制御周波数  $f_k$  の  $C_r(f_k)$  を乗じた信号と正弦波生成器32からの参照信号に制御周波数  $f_k$  の  $C_i(f_k)$  を乗じた信号とを加算(濾波信号作成)する(S104)。制御装置11は、LMS演算部37にて、加算器36の出力信号とセンサ9で検出した加速度信号(誤差信号)  $e(t)$  とを読み込んで適応フィルタ33のフィルタ係数の更新処理を行う(S105)。制御装置11は、加算器38にて、余弦波生成器31からの参照信号に制御周波数  $f_k$  の  $C_r(f_k)$  を乗じた信号と正弦波生成器32からの参照信号に制御周波数  $f_k$  の  $-C_i(f_k)$  を乗じた信号とを加算(濾波信号作成)する(S104)。制御装置11は、LMS演算部39にて、加算器38の出力とセンサ9で検出した加速度信号(誤差信号)  $e(t)$  とを読み込んで適応フィルタ34のフィルタ係数の更新処理を行う(S105)。

適応フィルタ33、34は、更新されたフィルタ係数に基づいて制御信号  $y(t)$  を ACM3aに出力する(S106)。

【0021】

本発明は、以上の動作を繰り返し、低減したい制御対象の周波数が変動した際、適応フィルタの初期値を0にリセットせず、予め保存されたフィルタ係数のデータ(過去の制御結果を基に作成されたデータ)を初期値として与えることで、当該初期値からフィルタ係数の更新を行う。本発明は、フィルタ係数の初期値が、ほぼ収束値であり、収束値に近いフィルタ係数から係数を更新するので、フィルタの収束値(最適解)までの到達時間が短くなり、制御の高速性を大幅に向上させることができる。

【0022】

次に、余弦波生成器31および正弦波生成器32が余弦波および正弦波を生成する時の余弦波および正弦波の原点を決定する方法について説明する。図6は、クランク軸の回転パルス信号とクランク軸の回転1次、2次振動の波形との関係を示す図である。図6に示す回転パルス信号は、クランク軸のクランク角などの検出に用いられる歯抜けが存在するパルス信号である。

【0023】

図6において、aとbの位置は、クランク角が同位置となるため、この位置を、余弦波生成器31および正弦波生成器32が生成する余弦波および正弦波の原点(正弦波の振幅

10

20

30

40

50

が0、もしくは余弦波の振幅が1となる点)とする。原点は、クランク軸の回転パルス信号の歯抜け位置を基準にして決定される。

【0024】

歯抜け位置は、例えば、(1つ前のHighレベルの期間)×2<(Lowレベルの期間)と判定された位置である。図6に示した例では、判定された歯抜け位置(歯抜け期間)後の最初のパルス信号の立ち下がりを検出した時点を実原点に設定している。サンプリング周波数が十分に高い場合は、パルス信号の立ち上がりを検出した時点を実原点に設定してもよい。

【0025】

制御装置11に格納されている適法フィルタのフィルタ係数は、この原点を基準としたフィルタ係数となるため、本発明は、例えば、上述のような手法で正弦波および余弦波の原点を決定すれば、制御装置11に格納されているフィルタ係数を用いて高速な制御効果を得ることができる。

【0026】

なお、このような原点の決定方法以外にも、クランク軸の回転パルス信号が歯抜け無しの場合などは、ある特定のシリンダーの点火パルス信号やTDC(Top Dead Center:上死点)位置を検出する信号などを用いて、クランク軸の基準点(正弦波および余弦波の原点位置)を決定してもよいことは言うまでもない。

【0027】

また、3気筒エンジンなど奇数個のシリンダーを持つエンジンにおいては、1.5次などハーフ次数の振動・音が主となるが、クランク軸の回転パルス信号のみで原点を求め、上記の制御を実行した場合、制御を開始するタイミングによっては、制御対象を低減できる場合と、加振してしまう場合が考えられる。

これは、奇数個のシリンダーを持つエンジンでは、上記方法で原点とするクランク角度位置における制御対象の振動方向が一意に定まらないためであり、現在の制御開始時の原点位置における振動方向が、過去の制御開始時の原点位置における振動方向と逆方向である場合に生じる。

しかしながら、このような場合にも、例えば、クランク軸の回転パルス信号だけでなく、上述したシリンダーの点火パルス信号やTDC位置を検出する信号などの別の信号を併用することで、原点およびその位置での振動方向が一意に決定できるため、提案する制御手法を適用することが可能である。

【0028】

図4において、周波数毎に格納されている $W_r(f_k)$ 、 $W_i(f_k)$ は、加振装置の経年劣化や使用される環境の変化(温度等)によっても現在の最適解からのずれを生じることとも考えられるため、本発明は、格納された値を最新の制御結果の収束値に更新する機能を有するようにしてもよい。

【0029】

図7は、制御装置に格納されている周波数毎の適応フィルタ係数の収束値を更新するときの動作を説明するフローチャートである。図7は、各時間にて更新された適応フィルタ33、34の値を、各時間にて随時その時点での周波数 $f_k$ の $W_r(f_k)$ 、 $W_i(f_k)$ として格納する形態を示している。

【0030】

制御装置11は、あるサンプル時間 $n$ において、制御対象の発生源の回転数を検出し、回転数信号から周波数 $f_k$ を算出する(S201)。次に、制御装置11は、制御装置11内に格納されている、周波数 $f_k$ に対応する適応フィルタのフィルタ係数の収束値 $W_r(f_k)$ 、 $W_i(f_k)$ を読み込んで、適応フィルタに初期値として設定し、図5で示したS104と同様に、濾波信号を作成する(S202)。次に、制御装置11は、図5で示したS105と同様に、濾波信号とセンサ9で検出した加速度信号(誤差信号) $e(n)$ とを読み込んで適応フィルタのフィルタ係数の更新処理を行う(S203)。制御装置11は、適応フィルタを更新後、 $W_r(f_k)$ 、 $W_i(f_k)$ を更新された適応フィルタ

10

20

30

40

50

の値に書き換える (S 2 0 4)。適応フィルタは、更新されたフィルタ係数に基づいて制御信号  $y(n)$  を A C M 3 a に出力する (S 2 0 5)。さらに、制御装置 1 1 は、サンプル時間  $n + 1$  において、以上の処理を繰り返し、格納されている  $W_r(fk)$ 、 $W_i(fk)$  を読み込んで、適応フィルタを更新する。

【 0 0 3 1 】

以上の処理を繰り返すことによって、周波数ごとに格納されている  $W_r(fk)$ 、 $W_i(fk)$  は、現在の使用環境における最適値として常に更新され続けるわけであり、本発明は、図 5 に示す周波数の変動を検知する処理を省略することも可能となる。

【 0 0 3 2 】

制御周波数が複数の場合、例えば 4 気筒エンジンの回転 2 次成分と 4 次成分のように、回転信号から決定される基本周波数の高調波を複数同時に制御する場合等は、本発明は、制御周波数算出部 4 8 により、制御を行う周波数を複数算出可能な機能を備えており、回転信号から決定される基本周波数およびその実数倍の周波数を算出し、余弦波生成器 3 1、正弦波生成器 3 2 により、選択された周波数の余弦波、正弦波を生成可能である。

【 0 0 3 3 】

なお、車両に発生する振動は様々な位相で合成され、0.5 倍や 1.5 倍の周波数の振動も増大する可能性があるため、本発明は、余弦波生成器 3 1、正弦波生成器 3 2 により、設定した周波数およびその実数倍の正弦波、余弦波を生成している。本発明では、低減したい周波数の数だけ並列演算が必要である。

【 0 0 3 4 】

また、上述した実施例では、1 つの A C M と 1 つの振動を検出するセンサで振動を低減する場合について説明したが、本発明は、A C M が 2 つ以上の場合および / または振動を検出するセンサが 2 つ以上の場合についても適用可能である。

【 0 0 3 5 】

また、加振装置は、A C M に限らず、アクティブマスダンパー (Active Mass Damper) やトルクロッドタイプのもので良い。加振装置を設ける箇所は、エンジン下部に限らず、サスペンション装置と車体との間でも良い。本発明は、例えば加振装置をサスペンション装置と車体との間に設けることによりタイヤの回転による振動をより効率良く低減することができる。

【 0 0 3 6 】

また、本発明は、振動の低減だけでなく、音の低減についても適用可能である。その場合には、本発明は、加振装置に代えて、音を低減するためのスピーカーを備え、振動検出装置に代えて、マイクロフォン等の騒音検出装置マイクを備える。

【 0 0 3 7 】

また、上述した実施例では、L M S アルゴリズムを用いて適応フィルタのフィルタ係数の更新処理を行ったが、フィルタ係数の更新処理は、複素 L M S アルゴリズム (Complex Least Mean Square Algorithm)、N o r m a l i z e d L M S アルゴリズム (Normalized Least Mean Square Algorithm)、射影アルゴリズム (Projection Algorithm)、S H A R F アルゴリズム (Simple Hyperstable Adaptive Recursive Filter Algorithm)、R L S アルゴリズム (Recursive Least Square Algorithm)、F L M S アルゴリズム (Fast Least Mean Square Algorithm)、D C T を用いた適法フィルタ (Adaptive Filter using Discrete Cosine Transform)、S A N フィルタ (Single Frequency Adaptive Notch Filter)、ニューラルネットワーク (Neural Network)、遺伝的アルゴリズム (Genetic Algorithm) 等、種々のアルゴリズムを用いて行うことができることは言うまでもない。

【 符号の説明 】

【 0 0 3 8 】

- 3 a A C M
- 4 ステアリング
- 6 センサ
- 7 センサ

10

20

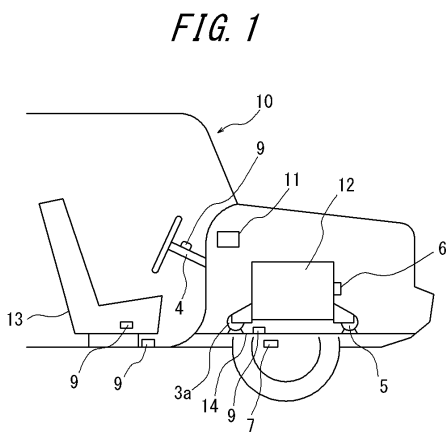
30

40

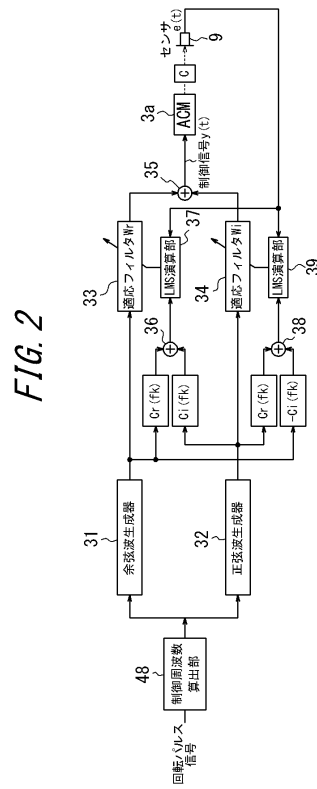
50

- 9 センサ
- 10 車両
- 11 制御装置
- 12 エンジン
- 13 シート
- 14 車体
- 31 余弦波生成器
- 32 正弦波生成器
- 33, 34 適応フィルタ
- 35, 36, 38 加算器
- 37, 39 LMS演算部
- 48 制御周波数算出部

【図1】



【図2】



【 図 3 】

FIG. 3

fk (Hz)	real	imag
f0	Cr (f0)	Ci (f0)
f1	Cr (f1)	Ci (f1)
f2	Cr (f2)	Ci (f2)
f3	Cr (f3)	Ci (f3)
⋮	⋮	⋮
fk	Cr (fk)	Ci (fk)

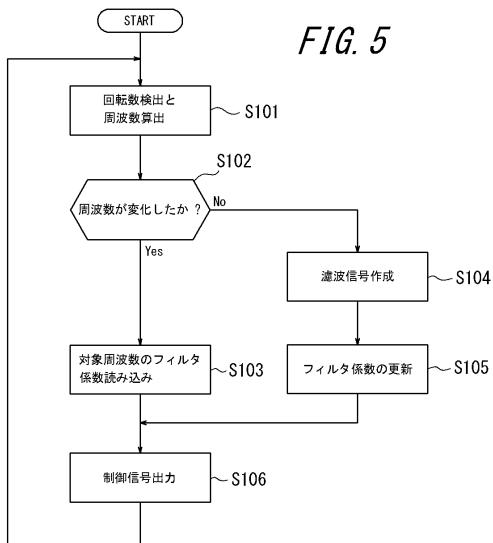
【 図 4 】

FIG. 4

fk (Hz)	real	imag
f0	Wr (f0)	Wi (f0)
f1	Wr (f1)	Wi (f1)
f2	Wr (f2)	Wi (f2)
f3	Wr (f3)	Wi (f3)
⋮	⋮	⋮
fk	Wr (fk)	Wi (fk)

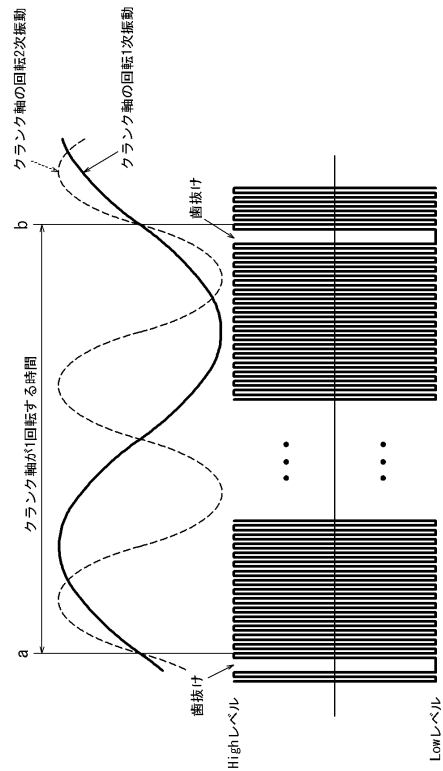
【 図 5 】

FIG. 5



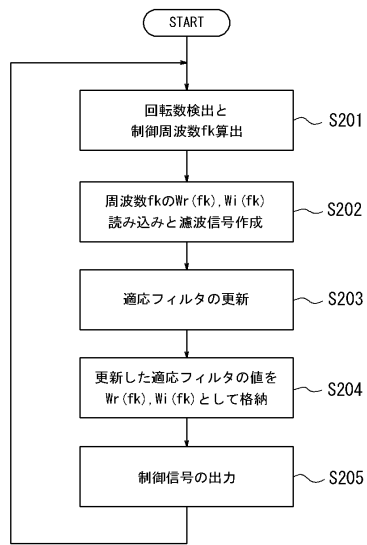
【 図 6 】

FIG. 6



【図7】

FIG. 7



---

フロントページの続き

- (56)参考文献 特開2002-155985(JP,A)  
特開平09-250409(JP,A)  
特開平08-272376(JP,A)  
特開2006-161921(JP,A)  
特開2009-275822(JP,A)  
特開2010-114554(JP,A)

(58)調査した分野(Int.Cl., DB名)

B60K	5/12
F16F	15/02
G05B	13/02
G05D	19/02